

11AC20MIMO_Ant1_5260

11AC20MIMO_Ant2_5260

11AC20MIMO_Ant1_5280


11AC20MIMO_Ant2_5280



11AC20MIMO_Ant1_5320



11AC20MIMO_Ant2_5320



11AC20MIMO_Ant1_5500



11AC20MIMO_Ant2_5500



11AC20MIMO_Ant1_5580



11AC20MIMO_Ant2_5580

11AC20MIMO_Ant1_5700

11AC20MIMO_Ant2_5700


11AC20MIMO_Ant1_5720_UNII-2C

11AC20MIMO_Ant2_5720_UNII-2C

11AC20MIMO_Ant1_5720_UNII-3


11AC20MIMO_Ant2_5720_UNII-3



11AC20MIMO_Ant1_5745



11AC20MIMO_Ant2_5745



11AC20MIMO_Ant1_5785

11AC20MIMO_Ant2_5785

11AC20MIMO_Ant1_5825


11AC20MIMO_Ant2_5825

11AC40MIMO_Ant1_5190

11AC40MIMO_Ant2_5190


11AC40MIMO_Ant1_5230

11AC40MIMO_Ant2_5230

11AC40MIMO_Ant1_5270


11AC40MIMO_Ant2_5270

11AC40MIMO_Ant1_5310

11AC40MIMO_Ant2_5310


11AC40MIMO_Ant1_5510

11AC40MIMO_Ant2_5510

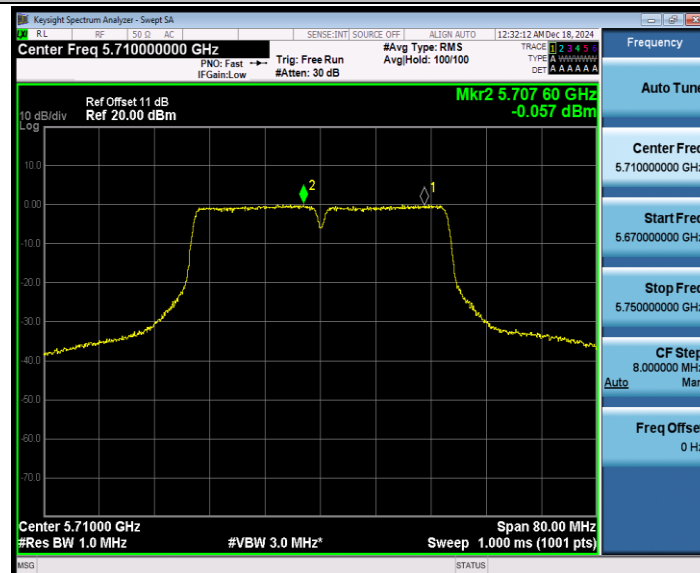
11AC40MIMO_Ant1_5550


11AC40MIMO_Ant2_5550

11AC40MIMO_Ant1_5670

11AC40MIMO_Ant2_5670


11AC40MIMO_Ant1_5710_UNII-2C

11AC40MIMO_Ant2_5710_UNII-2C

11AC40MIMO_Ant1_5710_UNII-3


11AC40MIMO_Ant2_5710_UNII-3



11AC40MIMO_Ant1_5755



11AC40MIMO_Ant2_5755



11AC40MIMO_Ant1_5795

11AC40MIMO_Ant2_5795

11AC80MIMO_Ant1_5210


11AC80MIMO_Ant2_5210

11AC80MIMO_Ant1_5290

11AC80MIMO_Ant2_5290


11AC80MIMO_Ant1_5530

11AC80MIMO_Ant2_5530

11AC80MIMO_Ant1_5610


11AC80MIMO_Ant2_5610

11AC80MIMO_Ant1_5690_UNII-2C

11AC80MIMO_Ant2_5690_UNII-2C
